

Effet tunnel : Application à la radioactivité α

①

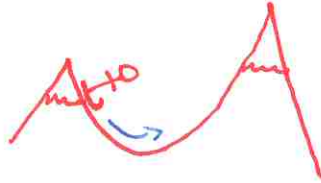
Niveau: Licence

Prérequis:

- Introduction à la mécanique quantique
- Equation de Schrodinger
- Radioactivité (niveau lycée)

Introduction :

Cas classique

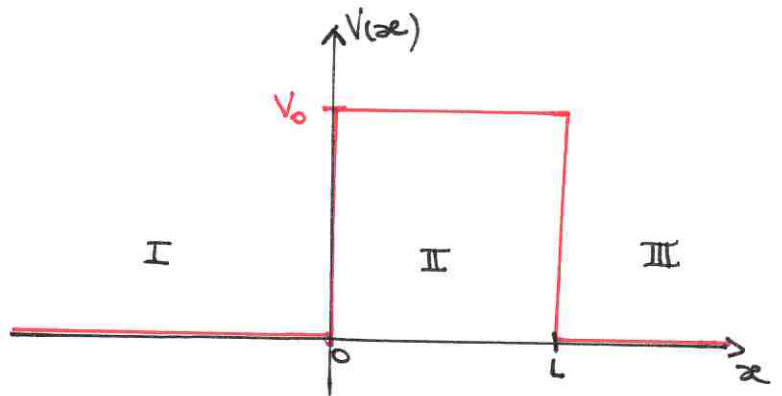


vs. cas quantique: une particule peut traverser une barrière de potentiel dont l'énergie est supérieure à celle de la particule.

I/ Effet tunnel

1 Le problème

$$V(x) = \begin{cases} 0, & x < 0 \\ V_0, & x \in [0; L] \\ 0, & x > L \end{cases}$$



On se restreint au cas $0 < E < V_0$.

Equation de Schrodinger :

$$-\frac{\hbar^2}{2m} \frac{\partial^2 \psi}{\partial x^2} + V(x) \psi(x, t) = i\hbar \frac{\partial \psi}{\partial t}$$

On se restreint aux solutions stationnaires: $\psi = \phi(x) e^{-i \frac{E}{\hbar} t}$

et

$$-\frac{\hbar^2}{2m} \frac{d^2 \phi}{dx^2} + V(x) \phi(x) = E \phi(x)$$

Régions I et III: $\frac{d^2\phi}{dx^2} + k^2\phi = 0$ avec $k = \frac{\sqrt{2mE}}{\hbar}$

Régions II: $\frac{d^2\phi}{dx^2} - q^2\phi = 0$ avec $q = \frac{\sqrt{2m(V_0 - E)}}{\hbar}$

Solutions:

I: $\phi_1 = A_1 \exp(ikx) + B_1 \exp(-ikx)$

II: $\phi_2 = A_2 \exp(qx) + B_2 \exp(-qx)$

III: $\phi_3 = A_3 e^{ikx} + B_3 e^{-ikx}$

$= 0$ car pas de terme source/réflexion à droite.

Simulation superposition d'onde.

2) Conditions limites

ϕ est toujours continue et ϕ' est continue tant que la marche de potentiel n'est pas infinie

Donc $\begin{cases} \text{en } 0: \phi_1(0) = \phi_2(0) \text{ et } \phi_1'(0) = \phi_2'(0) \\ \text{en } L: \phi_2(L) = \phi_3(L) \text{ et } \phi_2'(L) = \phi_3'(L) \end{cases}$

3) Transmission

Possibilité pour une particule de traverser la barrière de potentiel?

* $\underline{T} = \frac{A_3}{A_1}$: Coef. de transmission en amplitude complexe.

* $\underline{r} = \frac{B_1}{A_1}$: ——— réflexion ———

Donc $\phi_1 = A_1 \left(e^{ikx} + \underline{r} e^{-ikx} \right)$ et $\phi_3 = A_1 \underline{T} e^{ikx}$

D'après le système de CL : $\frac{t}{1} = \frac{\exp(-ikL)}{\cosh(qL) + iC \sinh(qL)}$ avec $C = \frac{1}{2} \left(\frac{q}{k} - \frac{k}{q} \right)$ (père, père)

Coef. de transmission en intensité ? $T = \frac{j_{inc}}{j_{trans}} \left(= \frac{I_{inc}}{I_{trans}} \text{ car } I = j \cdot S \right)$
 avec j le courant de probabilité :
 $j = \text{Re} \left(-\frac{i\hbar}{m} \left(\frac{d\psi}{dx} \psi^* \right) \right)$

Dans la zone III :

$$j_t = \text{Re} \left(-\frac{i\hbar}{m} \times \underbrace{ik \psi_3 \psi_3^*}_{|A_1|^2 |t|^2} \right) = \frac{\hbar k}{m} |A_1|^2 |t|^2$$

De \hat{m} : $j_i = \frac{|A_1|^2 \hbar k}{m}$ ce qui donne : $T = |t|^2 = \frac{4k^2 q^2}{4k^2 q^2 + (k^2 + q^2)^2 \sinh(qL)}$

Slide : $\left\{ \begin{array}{l} \text{Ce qui donne } T = \frac{4E(V_0 - E)}{4E(V_0 - E) + V_0^2 \sinh^2 \left(\frac{\sqrt{2m(V_0 - E)}}{\hbar} \times L \right)} \\ \text{Donc } \begin{array}{ll} L \rightarrow 0 : T \rightarrow 1 & V_0 \rightarrow 0 : T \rightarrow 1 \\ L \rightarrow \infty : T \rightarrow 0 & m \rightarrow +\infty : T \rightarrow 0 \end{array} \end{array} \right.$

Approximation de la barrière épaisse : $\sinh^2(qL) \sim \frac{1}{4} \exp(2qL)$ $qL \gg 1$

donc $T \approx \frac{16E(V_0 - E)}{V_0^2} e^{-2qL}$

Slide : Cas classique / Quantique / Barrière épaisse : Graph. + ODG.

L'effet tunnel permet de comprendre certains phénomènes naturels.

II / La radioactivité α

(4)

1) Rappels

Slide: Historique

1898: Découverte par Rutherford

1904: Particule α = noyau d'Hélium, Rutherford, Geiger

Emission par un noyau instable d'une particule α :



${}_2^4\text{He}$ à une énergie E_α

Loi d'évolution du nombre de noyau: $N(t) = N_0 e^{-\lambda t}$, $\lambda = \frac{\ln(2)}{t_{1/2}}$

$t_{1/2}$ = temps de $1/2$ vie.

Slide: 1911 Geiger et d'Allard établissant une loi empirique de décroissance:

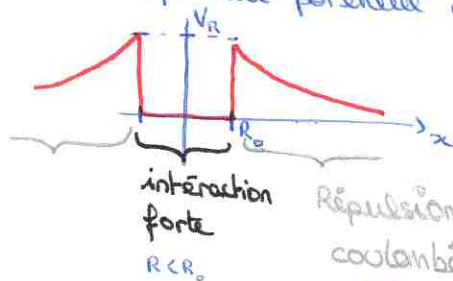
$$\ln(t_{1/2}) = A + \frac{B}{\sqrt{E_\alpha}}$$

Nous allons chercher à déterminer d'où vient cette loi et que valent A et B.

2) Modèle de Gamow, Gurney et Condon

Slide: Hypothèses: Particule α pré-existante dans le noyau

Profil du potentiel avec explications.



$R_0 \sim 7,7 \text{ fm}$ pour l'uranium.

$V_R \sim 30 \text{ MeV}$

$E_\alpha \sim 4 \text{ MeV}$

} Effet tunnel.

Répulsion

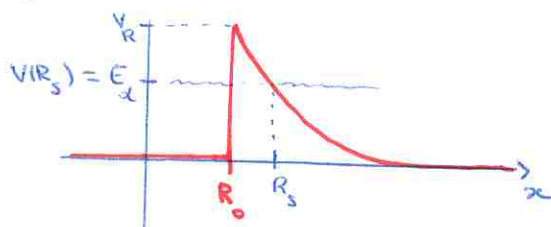
coulombienne

$$\frac{2(2-2)2^2}{4\pi\epsilon_0 x}$$

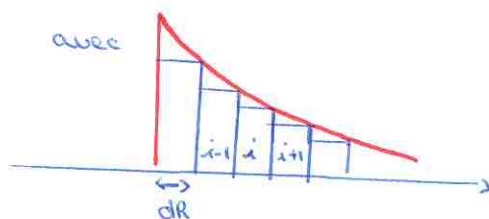
Pour pouvoir appliquer le résultat précédent, on découpe en sous parties: "méthode des rectangles", en barrière épaisse.

Soit R_s le rayon de sortie de la barrière de potentiel :

(5)



$$T = \prod_i T_i$$



donc $\ln T = \sum_i \ln T_i$

avec $T_i = \frac{16 E_\alpha (V_i - E_\alpha)}{V_i^2}$

$$\times \exp\left(\frac{\sqrt{2m(V_i - E_\alpha)}}{\hbar} \times (-2) dR\right)$$

Ce qui donne $\ln T_i = -\frac{2dR}{\hbar} \sqrt{2m(V_i - E_\alpha)}$ + etc car $\frac{16 E_\alpha (V_i - E_\alpha)}{V_i^2} \approx 3$ en moyenne.

Rotation continue :

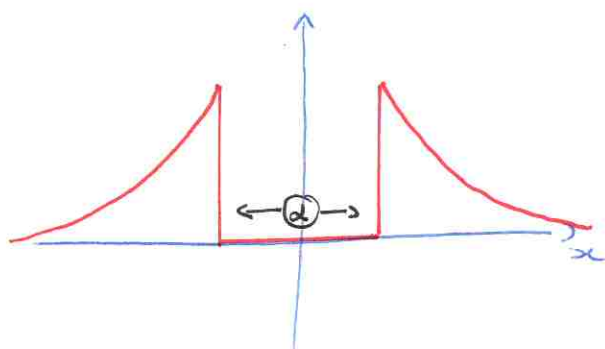
$$\ln T \approx -\frac{2\sqrt{2m}}{\hbar} \int_{R_0}^{R_s} \sqrt{V(x) - E_\alpha} dx \quad \text{avec } V(x) \propto \frac{C}{x}$$

$$= -\frac{2\sqrt{2m}}{\hbar} \left[x \sqrt{\frac{C}{x} - E'} - \frac{C \tan^{-1} \sqrt{\frac{C}{xE'} - 1}}{\sqrt{E'}} \right]_{R_0}^{R_s}$$

$$\Rightarrow \ln(T) = X + \frac{Y}{\sqrt{E'}}$$

Slide : Tracé numériquement avec données p.134 du manuel de radioactivité.

3) Loi de désintégration



On suppose que la particule α fait des allers-retours dans le noyau et est transmise avec la probabilité T à chaque fois qu'elle atteint la barrière.

Prob. de réflexion pour $n = \frac{t}{T_0}$ rencontres avec la barrière:

$$P_R = (1 - T)^n$$

avec T_0 tps de traversée de R_0 à $-R_0$.

Avec l'approx. de la barrière épaisse: $T \ll 1$ (quelques %)
(ellipse p. 850)

Donc: slide?
$$\begin{cases} P_R = 1 - \frac{T t}{T_0} \text{ et } N(t) = N_0 \times P_R(t) \text{ or } N(t) = N_0 e^{-\lambda t} \\ \text{Donc: } -dt = \ln\left(1 - \frac{T t}{T_0}\right) \simeq -\frac{T t}{T_0} \text{ et } \lambda = \frac{\ln(2)}{t_{1/2}} \end{cases}$$

Donc: $\left(t_{1/2} = \ln(2) \frac{T_0}{T} \right)$, on retrouve bien la loi de
Nuttall et Geiger:

$$\ln(t_{1/2}) = \ln(\ln(2) T_0) - \ln(T) \text{ et } \ln(T) = X + \frac{Y}{\sqrt{E_\alpha}}$$

Donc $\left(\ln(t_{1/2}) = A + \frac{B}{\sqrt{E_\alpha}} \right)$ Justifie la forte influence de
 E_α pour un même élément
(\neq isotopes)

slide
$$\begin{cases} \rightarrow {}^{210}\text{Po}: t_{1/2} = 138,4 \text{ j}, E_\alpha = 5,41 \text{ MeV} \\ {}^{214}\text{Po}: t_{1/2} = 164,3 \mu\text{s}, E_\alpha = 7,83 \text{ MeV} \end{cases}$$

4) Limites

* Forme des potentiels

* Oscillations de α dans le noyau ($\nu \simeq 10^{21} \text{ Hz}$)

* Marche surtout pour les noyaux lourds et pairs ($Z = 2n$)

Barrière épaisse

Cel: Microscope effet tunnel (slide)